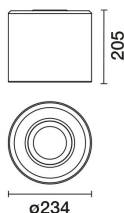


Ultimo aggiornamento delle informazioni: Febbraio 2025

Configurazione di prodotto: QU60

QU60: Ø 234 mm - neutral - dali

**Codice prodotto**

QU60: Ø 234 mm - neutral - dali

Descrizione tecnica

Apparecchio rotondo per installazione a plafone o sospensione tramite kit da ordinare separatamente. Prodotto finalizzato all'utilizzo di sorgente LED con tecnologia C.o.B. Riflettore metallizzato con vapori di alluminio sottovuoto con strato di protezione antigraffio. Prodotto dotato di dissipazione passiva. Apparecchio completo di LED in tonalità di colore neutral (4000K). Emissione luminosa UGR<19 L<3000 cd/mq ideale per ambienti dove sono presenti videotermini.

Installazione

a plafone o sospensione tramite kit da ordinare come accessorio.

Colore

Bianco/Alluminio (39) | Nero/Alluminio (40)

Peso (Kg)

1.83

Montaggio

a soffitto

Cablaggio

prodotto completo di componentistica dali

Soddisfa EN60598-1 e relative note

**Dati tecnici**

| | | | |
|--|-------|------------------------------------|---------------------------------|
| Im di sistema: | 3024 | Temperatura colore [K]: | 4000 |
| W di sistema: | 25.3 | MacAdam Step: | 2 |
| Im di sorgente: | 3600 | Life Time LED 1: | > 50,000h - L90 - B10 (Ta 25°C) |
| W di sorgente: | 22 | Codice lampada: | LED |
| Efficienza luminosa (lm/W, dati di sistema): | 119.5 | Numero di lampade per vano ottico: | 1 |
| Im in modalità emergenza: | - | Codice ZVEI: | LED |
| Flusso totale emesso a 90° o superiore [Lm]: | 0 | Numero di vani ottici: | 1 |
| Light Output Ratio (L.O.R.) [%]: | 84 | Control: | DALI-2 |
| CRI (minimo): | 80 | | |

Polare

| Imax=2865 cd | | CIE | | Lux | | | |
|--------------|--|-------------------------------|--|-----|-----|-----|------------------|
| | | | | h | d | Em | E _{max} |
| 90° | | nL 0.84 | | 2 | 2.5 | 557 | 716 |
| 180° | | 94-100-100-100-84 | | 4 | 5 | 139 | 179 |
| 90° | | UGR 16.0-16.0 | | 6 | 7.5 | 62 | 80 |
| 0° | | DIN A.61 | | 8 | 10 | 35 | 45 |
| | | UTE 0.84A+0.00T | | | | | |
| | | F*1=936 | | | | | |
| | | F*1+F*2=999 | | | | | |
| | | F*1+F*2+F*3=1000 | | | | | |
| | | CIBSE LG3 L<1500 cd/m² at 65° | | | | | |
| | | UGR<19 L<1500 cd/mq @ 65° | | | | | |
| α=64° | | | | | | | |

Coefficienti di utilizzazione

| R | 77 | 75 | 73 | 71 | 55 | 53 | 33 | 00 | DRR |
|------|----|----|----|----|----|----|----|----|-----|
| K0.8 | 73 | 69 | 66 | 63 | 68 | 65 | 65 | 62 | 74 |
| 1.0 | 77 | 73 | 70 | 68 | 72 | 70 | 69 | 66 | 79 |
| 1.5 | 82 | 79 | 76 | 75 | 78 | 76 | 75 | 72 | 86 |
| 2.0 | 85 | 82 | 81 | 79 | 81 | 80 | 79 | 76 | 91 |
| 2.5 | 86 | 85 | 83 | 82 | 83 | 82 | 81 | 79 | 94 |
| 3.0 | 88 | 86 | 85 | 84 | 85 | 84 | 83 | 81 | 96 |
| 4.0 | 89 | 88 | 87 | 86 | 86 | 86 | 84 | 82 | 98 |
| 5.0 | 89 | 89 | 88 | 87 | 87 | 86 | 85 | 83 | 99 |

Curva limite di luminanza

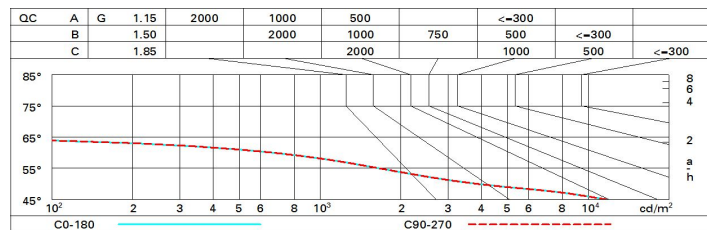


Diagramma UGR

| Corrected UGR values (at 3000 lm bare lamp luminous flux) | | | | | | | | | | | |
|--|-----|---------------------|------|------|------|------|-------------------|------|------|------|------|
| Reflect.: ceiling walls work pl. Room dim x y | | viewed crosswise | | | | | viewed endwise | | | | |
| 2H | 2H | 10.0 | 17.3 | 10.9 | 17.0 | 17.8 | 10.0 | 17.3 | 10.9 | 17.0 | 17.8 |
| | 3H | 10.5 | 17.1 | 10.8 | 17.4 | 17.7 | 10.5 | 17.1 | 10.8 | 17.4 | 17.7 |
| | 4H | 10.4 | 17.0 | 10.7 | 17.3 | 17.6 | 10.4 | 17.0 | 10.7 | 17.3 | 17.6 |
| | 6H | 10.3 | 16.9 | 10.7 | 17.2 | 17.5 | 10.3 | 16.9 | 10.7 | 17.2 | 17.5 |
| | 8H | 10.3 | 16.8 | 10.7 | 17.1 | 17.5 | 10.3 | 16.8 | 10.7 | 17.1 | 17.5 |
| | 12H | 10.3 | 16.8 | 10.6 | 17.1 | 17.4 | 10.3 | 16.8 | 10.6 | 17.1 | 17.5 |
| 4H | 2H | 10.4 | 17.0 | 10.7 | 17.3 | 17.6 | 10.4 | 17.0 | 10.7 | 17.3 | 17.6 |
| | 3H | 10.3 | 16.8 | 10.6 | 17.1 | 17.5 | 10.3 | 16.8 | 10.6 | 17.1 | 17.5 |
| | 4H | 10.2 | 16.6 | 10.6 | 17.0 | 17.4 | 10.2 | 16.6 | 10.6 | 17.0 | 17.4 |
| | 6H | 10.1 | 16.5 | 10.5 | 16.9 | 17.3 | 10.1 | 16.5 | 10.5 | 16.9 | 17.3 |
| | 8H | 10.0 | 16.4 | 10.5 | 16.8 | 17.2 | 10.0 | 16.4 | 10.5 | 16.8 | 17.2 |
| | 12H | 10.0 | 16.3 | 10.4 | 16.7 | 17.2 | 10.0 | 16.3 | 10.4 | 16.7 | 17.2 |
| 8H | 4H | 10.0 | 16.4 | 10.5 | 16.8 | 17.2 | 10.0 | 16.4 | 10.5 | 16.8 | 17.2 |
| | 6H | 10.0 | 16.2 | 10.4 | 16.7 | 17.2 | 10.0 | 16.2 | 10.4 | 16.7 | 17.2 |
| | 8H | 15.9 | 16.1 | 10.4 | 16.6 | 17.1 | 15.9 | 16.1 | 10.4 | 16.6 | 17.1 |
| | 12H | 15.8 | 16.1 | 10.3 | 16.5 | 17.1 | 15.8 | 16.1 | 10.3 | 16.5 | 17.1 |
| 12H | 4H | 10.0 | 16.3 | 10.4 | 16.7 | 17.2 | 10.0 | 16.3 | 10.4 | 16.7 | 17.2 |
| | 6H | 15.9 | 16.1 | 10.4 | 16.6 | 17.1 | 15.9 | 16.1 | 10.4 | 16.6 | 17.1 |
| | 8H | 15.8 | 16.1 | 10.3 | 16.5 | 17.1 | 15.8 | 16.1 | 10.3 | 16.5 | 17.1 |
| Variations with the observer position at spacing: | | | | | | | | | | | |
| S = | | 1.0H | | | | | 4.1 / -13.1 | | | | |
| | | 1.5H | | | | | 0.8 / -25.9 | | | | |
| | | 2.0H | | | | | 0.8 / -37.8 | | | | |